



Al fondo y Coronación de los acantilados varones de la  
ladera de Routsagudo.

24-26/TH/SS/301.- Keuper y Jurásico Inferior (Lías)  
en el valle de las Salinas de Mon  
teagudo.



4-26/TH/SS/302.- Detalle de las calizas litográficas del techo del Dogger.



24-26/TH/SS/303.- Detalle en las dolomías rojizas de  
grano grueso del Dogger alto.



24-26/TH/SS/304.- Albiense y Cenomanense con las  
arcillas verdes de la base, en  
el castillo de Monteagudo.



24-26/TH/SS/305.- Albiense-Cenomaniense Inferior  
(Arenas de Utrillas) y Cenoma-  
niense Medio y Superior.



24-26/TH/SS/306.- Cenomaniense y Turoniense en el barranco del río Gritos.



24026/TH/SS/308.- Morfología de tormos de las dolomías del Turoniente (dolomías de la "Ciudad Encantada").



24-26/TH/SS/309.- Brechas del Santoniense al NW de la hoja.



24-26/TH/SS/310.- Detalle de las brechas del Santo-niense.



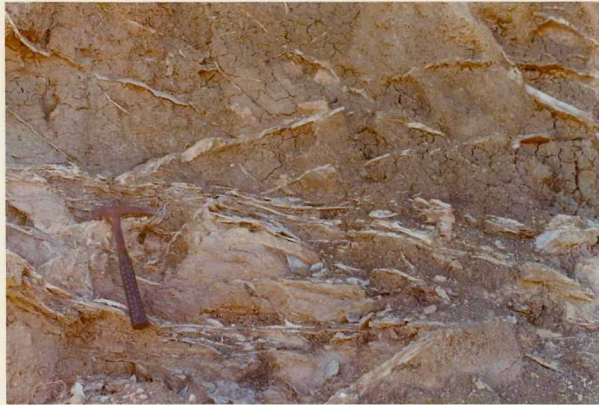
24-26/TH/SS/311.- Calizas intraclásticas del Santo-  
niense.



24-26/TH/SS/312.- Detalle de las margas con niveles de brechas del Campaniense.



24-26/TH/SS/313.- Margas y yesos del Maestrichtiense  
(facies garumniense) en el extremo  
occidental de la hoja.



24-26/TH/SS/314.- Detalle de yesos anastomosados en las margas del Maestrichtiense.



24-26/TH/SS/315.- Arenas arcósicas con cemento carboná  
tico del Eoceno.



24-26/TH/SS/316.- Detalle de un nivel de arenas arcó-  
sicas (microconglomeráticas) del  
Eoceno.



24-26/TH/SS/317.- Arcillas con niveles de yesos del  
Oligoceno.



24-26/TH/SS/318.- Arcillas, areniscas y conglomerados del Oligoceno.



24-26/TH/SS/319.- Conglomerados en los tramos más altos del Oligoceno.



24-26/TH/SS/320.- Detalle de los conglomerados del Oligoceno.



24-26/TH/SS/307.- Turoniense masivo en el barranco  
del río Gritos.

## TECNHYDROS

OFICINA TECNICA DE HYDROGEOLOGIA Y SONDEOS  
 AVDA. GENERALISIMO, 51-7.<sup>o</sup> D. TELEF. 279 73 88  
 MADRID-16

## HOJA 24-26 (VALERA DE ABAJO)

## RELACION DE LEYENDAS DE LAS FOTOGRAFIAS DE CAMPO

- 301.- Keuper y Jurásico Inferior (Lías) en el valle de las Salinas de Monteagudo.
- 302.- Detalle de las calizas litográficas del techo del Dogger.
- 303.- Detalle en las dolomías rojizas de grano grueso del Dogger alto.
- 304.- Albiense y Cenomaniense con las arcillas verdes de la base, en el castillo de Monteagudo.
- 305.- Albiense-Cenomaniense Inferior (Arenas de Utrillas) y Cenomaniense Medio y Superior.
- 306.- Cenomaniense y Turoniense en el barranco del río Gritos.
- 307.- Turoniense masivo en el barranco del río Gritos.
- 308.- Morfología de tormos de las dolomías del Turoniense (dolomías de la "Ciudad Encantada").
- 309.- Brechas del Santoniense al NW de la hoja.
- 310.- Detalle de las brechas del Santoniense.
- 311.- Calizas intraclásticas del Santoniense.
- 312.- Detalle de las margas con niveles de brechas del Campaniense.
- 313.- Margas y yesos del Maestrichtiense (facies garumniense) en el extremo occidental de la hoja.
- 314.- Detalle de yesos anastomosados en las margas del Maestrichtiense.
- 315.- Arenas arcósicas con cemento carbonático del Eoceno.
- 316.- Detalle de un nivel de arenas arcósicas (microconglomeráticas) del Eoceno.
- 317.- Arcillas con niveles de yesos del Oligoceno.
- 318.- Arcillas, areniscas y conglomerados del Oligoceno.
- 319.- Conglomerados en los tramos más altos del Oligoceno.
- 320.- Detalle de los conglomerados del Oligoceno.